

# Влияние синглетного основного состояния иона $\text{Pr}^{3+}$ на магнитные и магнитоэлектрические свойства мультиферроика $\text{PrFe}_3(\text{BO}_3)_4$

*А. М. Кадомцева<sup>1)</sup>, Ю. Ф. Попов, Г. П. Воробьев, А. А. Мухин<sup>+</sup>, В. Ю. Иванов<sup>+</sup>, А. М. Кузьменко<sup>+</sup>,  
Л. Н. Безматерных\**

*Московский государственный университет им. М.В. Ломоносова, 119992 Москва, Россия*

*+ Институт общей физики им. А.М. Прохорова РАН, 119991 Москва, Россия*

*\* Институт физики Сибирского отд. РАН, 660038 Красноярск, Россия*

Поступила в редакцию 9 ноября 2007 г.

После переработки 19 ноября 2007 г.

Проведено комплексное экспериментальное и теоретическое исследования магнитных, магнитоэлектрических и магнитоупругих свойств и индуцированных магнитным полем фазовых переходов в монокристалле  $\text{PrFe}_3(\text{BO}_3)_4$ , основное состояние редкоземельного иона в котором, в отличие от других раннее изученных ферроборатов, является синглетным. Установлено, что ниже  $T_N = 32\text{ K}$  магнитная структура в отсутствии магнитного поля является одноосной ( $\parallel c$ ) и приложении большого магнитного поля  $\mathbf{H} \parallel \mathbf{c}$  ( $H_{cr} \sim 43\text{ kE}$  при температуре  $4.2\text{ K}$ ) возникает переориентация спинов  $\text{Fe}^{3+}$  к базисной плоскости, сопровождаемая аномалиями намагниченности, магнитострикции и электрической поляризации. По значениям пороговых полей, определенных в температурном интервале  $2\text{--}32\text{ K}$ , построена фазовая Н–Т-диаграмма. Определен вклад основного состояния иона  $\text{Pr}^{3+}$  в актуальные параметры и проанализировано влияние иона празеодима на магнитные и магнитоэлектрические свойства ферробората празеодима.

PACS: 75.80.+q

**Введение.** В последние годы интерес к исследованию редкоземельных ферроборатов  $\text{RFe}_3(\text{BO}_3)_4$ , кристаллическая структура которых описывается пространственной группой  $R\bar{3}2$  ( $D_3^7$ ), значительно вырос (см. обзор [1]). Это связано, прежде всего, с интересными магнитными свойствами редкоземельных ферроборатов, в которых имеются две взаимодействующие магнитные подсистемы: железная и редкоземельная. Помимо этого, недавно было установлено, что редкоземельные ферробораты принадлежат к новому классу мультиферроиков [2–4]. В зависимости от основного состояния редкоземельного иона [5] магнитные и магнитоэлектрические свойства этих соединений сильно различаются. Так, ферробораты неодима, гадолиния и тербия, основное состояние редкоземельного иона для которых  ${}^4I_{9/2}$ ,  ${}^8S_{7/2}$ ,  ${}^7F_6$ , соответственно, имеют ниже температуры Нееля  $T_N$  различную магнитную структуру: для  $\text{NdFe}_3(\text{BO}_3)_4$  – легко-плоскостную, для  $\text{TbFe}_3(\text{BO}_3)_4$  – легкоосную, а для  $\text{GdFe}_3(\text{BO}_3)_4$  магнитная структура при  $T < 10\text{ K}$  легкоосная, а в интервале температур  $10 < T < T_N$  – легкоплоскостная. Максимальная величина электрической поляризации, индуцированной маг-

нитным полем, наблюдается в  $\text{NdFe}_3(\text{BO}_3)_4$ , а минимальная – в  $\text{TbFe}_3(\text{BO}_3)_4$ , где ион  $\text{Tb}^{3+}$  является сильно анизотропным (изинговским) ионом, который в силу специфики основного состояния практически не вносит вклада в электрическую поляризацию. Представляло интерес исследовать магнитные и магнитоэлектрические взаимодействия в ферроборате празеодима  $\text{PrFe}_3(\text{BO}_3)_4$ , в котором ион  $\text{Pr}^{3+}$  является некрамерсовским, по существу, синглетным (основное состояние  ${}^3H_4$ ), тем более что свойства  $\text{PrFe}_3(\text{BO}_3)_4$  ранее практически не исследовались.

**Эксперимент.** В работе проведены комплексные исследования магнитных, магнитоупругих и магнитоэлектрических свойств монокристаллов  $\text{PrFe}_3(\text{BO}_3)_4$  в интервале температур  $2\text{--}300\text{ K}$ . Монокристаллы ферробората празеодима были выращены методом из раствора в расплаве, технология синтеза описана в работе [6]. Магнитные свойства изменились в статическом магнитном поле с помощью СКВИД-магнитометра MPMS-50 и в импульсном магнитном поле до  $250\text{ kE}$  индукционным методом с использованием дифференциальных катушек. Магнитострикция изменилась с помощью контактных пьезоэлектрических датчиков, а электрическая поляризация – с помощью измерения электрического

<sup>1)</sup>e-mail: kadomts@plms.ru

заряда на образце, индуцированного импульсным магнитным полем.

На рис.1 приведена температурная зависимость магнитной восприимчивости, измеренной в постоян-

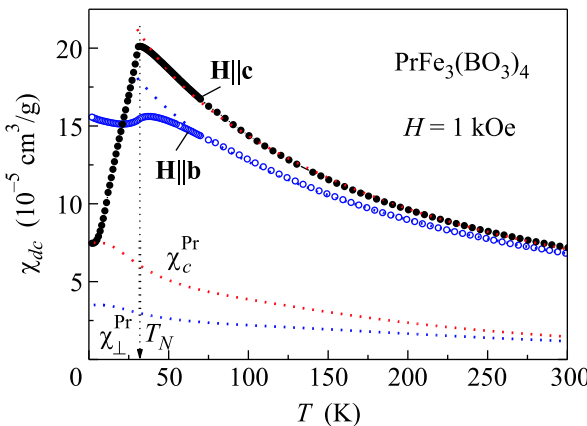


Рис.1. Температурные зависимости магнитной восприимчивости, измеренной в поле 1 кЭ вдоль осей *c* и *b*, символы – эксперимент, точечные линии – расчет, который позволил выделить редкоземельную часть восприимчивости (см. текст)

ном магнитном поле  $H \sim 1$  кЭ в температурном интервале 2–300 К на СКВИД-магнитометре. При понижении температуры от 300 К вплоть до  $T_N = 32$  К восприимчивость вдоль *c*-оси обнаруживает плавное возрастание с последующим резким спадом  $\chi_c$  от  $2 \cdot 10^{-4}$  при  $T_N$  до  $0.75 \cdot 10^{-4}$  см<sup>3</sup>/г при  $T = 2$  К. Восприимчивость вдоль *b*-оси с понижением температуры от 300 до  $T_N$  вначале плавно возрастает, а ниже  $T_N$   $\chi_b$  практически не зависит от температуры. Такое поведение восприимчивости  $\chi_c$  указывает на то, что ниже  $T_N$  спины ионов Fe<sup>3+</sup> упорядочены вдоль *c*-оси, вызывая антиферромагнитную поляризацию ионов Pr<sup>3+</sup> за счет обменного взаимодействия Pr–Fe. На кривых намагничения вдоль *c*-оси PrFe<sub>3</sub>(BO<sub>3</sub>)<sub>4</sub> в статическом (смотри вставку к рис.2) и импульсном магнитном поле (рис.2) наблюдались резкие скачки намагниченности, обусловленные переориентацией спинов Fe<sup>3+</sup> от *c*-оси в базисную плоскость, сопровождаемые перемагничиванием моментов ионов Pr<sup>3+</sup>. Величина поля перехода составляет  $\sim 45$  кЭ при 4.2 К и вырастает до 63 кЭ с увеличением температуры до 30 К. Следует отметить, что скачки намагниченности на кривых намагничения наблюдались только при  $\mathbf{H} \parallel \mathbf{c}$ , что непосредственно указывает на то, что спины ионов Fe<sup>3+</sup> ориентированы в отсутствие поля вдоль *c*-оси и их переориентация может реализоваться только в достаточно большом пороговом поле.

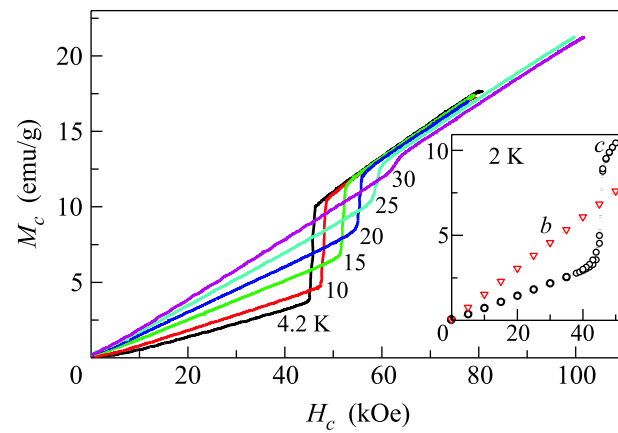


Рис.2. Кривые намагничивания кристалла PrFe<sub>3</sub>(BO<sub>3</sub>)<sub>4</sub> вдоль оси *c*, измеренные в импульсных магнитных полях при различных температурах. На вставке: кривые намагничения, измеренные при  $T = 2.0$  К вдоль осей *c* и *b* на СКВИД – магнитометре

Процесс индуцированной полем  $\mathbf{H} \parallel \mathbf{c}$  спиновой переориентации сопровождался возникновением скачков магнитострикционных деформаций (рис.3), причем пороговые поля, в которых наблюдались скач-

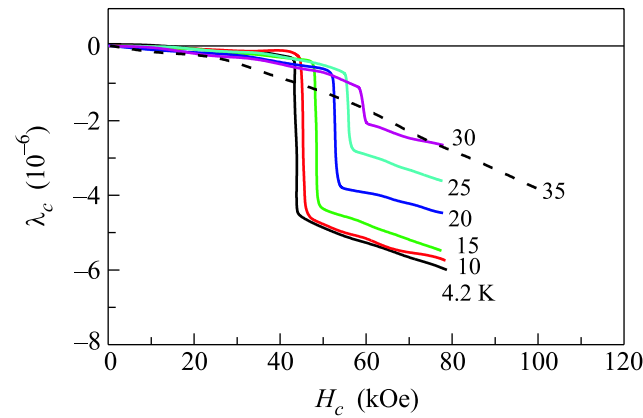


Рис.3. Полевые зависимости продольной магнитострикции вдоль оси *c* при различных температурах

ки намагниченности и магнитострикции, коррелируют между собой. Отметим, что магнитострикционные деформации сравнительно невелики и составляют  $\sim 5 \cdot 10^{-6}$ .

Было также обнаружено, что при индуцированном магнитным полем  $\mathbf{H} \parallel \mathbf{c}$  спин-переориентационном переходе наблюдаются аномалии электрической поляризации, которые имеют характер “пичков” (рис.4). Величина и форма наблюдаемых аномалий поляризации в значительной степени, как будет показано ниже, определяется неизбежным малым отклонением поля от строгой ориентации вдоль *c*-оси к базисной

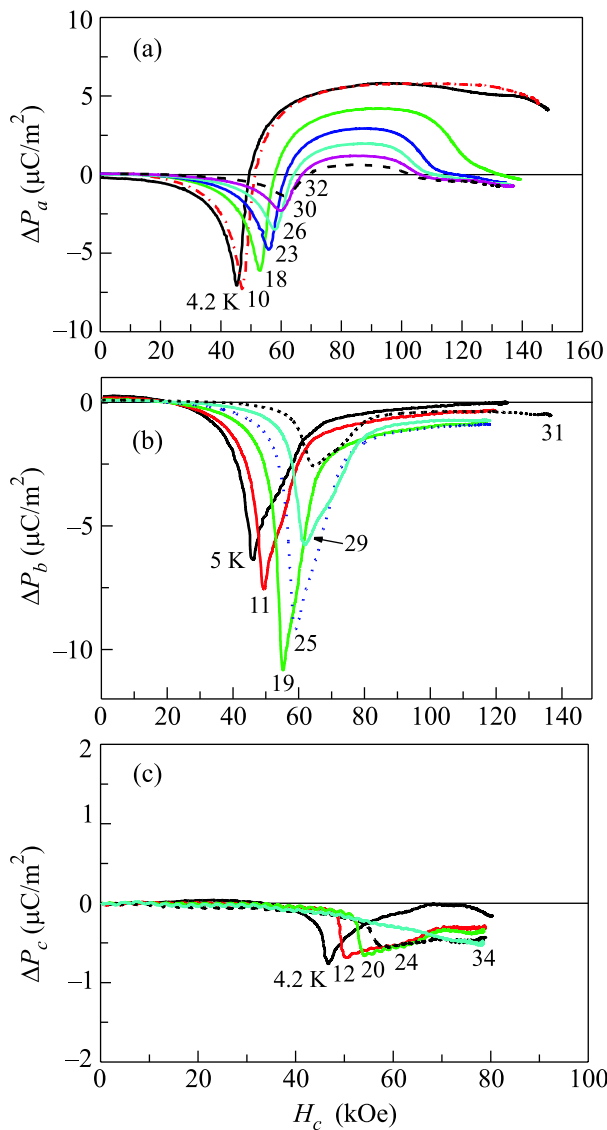


Рис.4. Зависимости изменения поляризации вдоль оси  $a$  (а),  $b$  (б) и  $c$  (с) от величины магнитного поля, приложенного вдоль оси  $c$ . Около кривых указано значение  $T$

плоскости. Минимальная величина пичков наблюдалась вдоль  $c$ -оси  $\Delta P_c(H_c)$ , где, согласно симметрийному анализу (см. [3]), в отличие от  $\Delta P_{a,b}(H_c)$  она определяется членом четвертого порядка по вектору антиферромагнетизма 1.

Продольная электрическая поляризация в базисной плоскости квадратично зависела от магнитного поля вдоль  $a$ - и  $b$ -осей кристалла (рис.5), не обнаруживая аномалий, указывающих на наличие фазового перехода в магнитном поле, как это наблюдалось при  $\mathbf{H} \parallel \mathbf{c}$ .

Фазовая диаграмма  $H(T)$  для  $\text{PrFe}_3(\text{FeO}_3)_4$ , полученная из измерения магнитных  $M_C(H_C)$ , магнито-

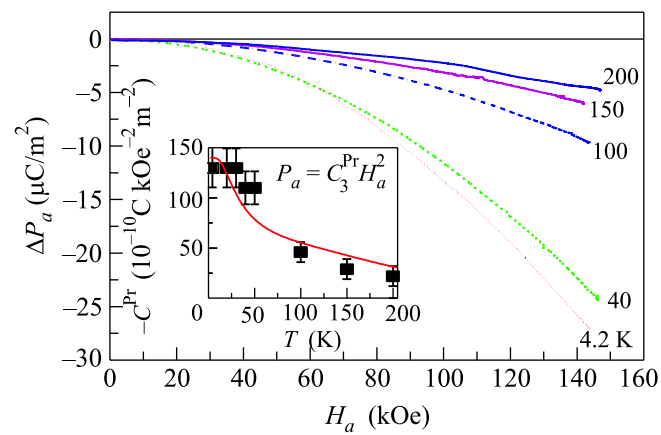


Рис.5. Зависимости изменения поляризации вдоль оси  $a$  от магнитного поля, приложенного вдоль оси  $a$ . На вставке: температурная зависимость коэффициента при квадратичном по полю члене: точки – эксперимент, кривая – теоретическая зависимость

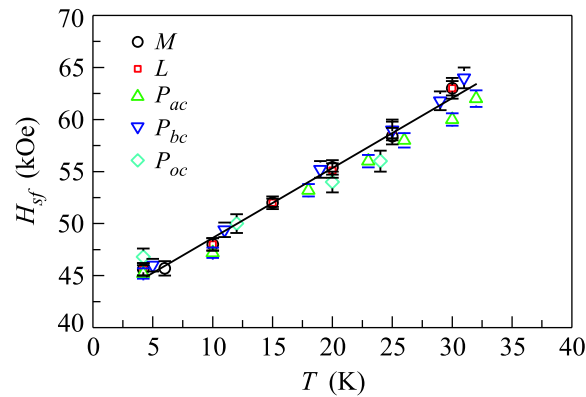


Рис.6. Температурная зависимость критического магнитного поля, полученного из измерений намагниченности, магнитострикции и электрической поляризации

упругих  $\lambda_c(H_c)$  и магнитоэлектрических  $\Delta P_{a,c}(H_c)$  свойств, приведена на рис.6 и обнаруживает хорошее согласие величин пороговых полей для различных измерений.

**Теория и обсуждение результатов.** Для описания наблюдаемых магнитных свойств  $\text{PrFe}_3(\text{BO}_3)_4$ , в частности одноосной антиферромагнитной структуры, необходимо учесть анизотропию, вносимую редкоземельной подсистемой. Этот фактор является принципиальным, так как магнитная анизотропия Fe-подсистемы стабилизирует легкоплоскостное состояние, о чем свидетельствуют данные по ферроборату  $\text{YFe}_3(\text{BO}_3)_4$  с немагнитными ионами  $\text{Y}^{3+}$  [7, 8]. Согласно экспериментальным данным (рис.1), наибольшая магнитная восприимчивость ионов  $\text{Pr}^{3+}$  проявляется вдоль оси  $c$ , что

позволяет стабилизировать одноосное состояние при достаточной величине обменного Pr–Fe взаимодействия. Другой важной особенностью  $\text{PrFe}_3(\text{BO}_3)_4$  является наблюдаемый линейный характер кривых намагничения, как в одноосном состоянии, так и в спин-флоп фазе (рис.2). Это указывает на синглетный характер основного состояния некрамерсовского иона  $\text{Pr}^{3+}$  в кристаллическом поле, отделенного от вышележащих уровней достаточно большим энергетическим интервалом, что и приводит к отсутствию насыщения намагниченности редкоземельной подсистемы в магнитном поле до 200 кЭ в отличии от ферроборатов с изинговскими ионами  $\text{Tb}^{3+}$  [4].

В этом случае намагниченность двух Pr подрешеток можно представить в виде  $m^\pm \approx \hat{\chi}^{\text{Pr}}(T) \mathbf{H}_{\text{eff}}^\pm$ , где  $\hat{\chi}^{\text{Pr}}(T)$  – тензор магнитной восприимчивости ионов  $\text{Pr}^{3+}$  в кристаллическом поле,  $\mathbf{H}_{\text{eff}}^\pm = \mathbf{H} + \mathbf{H}_{\text{ex}}^\pm$  – эффективное поле и  $\mathbf{H}_{\text{ex}}^\pm \approx \pm(\lambda_\perp l_x, \lambda_\perp l_y, \lambda_z l_z)$  – обменное поле, определяемое Pr–Fe взаимодействием,  $\mathbf{l} = (l_x, l_y, l_z)$  – безразмерный вектор антиферромагнетизма Fe-подсистемы, знаки  $\pm$  соответствуют двум подрешеткам Pr. Полную свободную энергию всей системы представим в виде

$$\begin{aligned} \Phi(\mathbf{l}, \mathbf{H}) = & -\frac{1}{2}\chi_\perp^{\text{Fe}} \mathbf{H}^2 + (\chi_\perp^{\text{Fe}} - \chi_\parallel^{\text{Fe}})(\mathbf{H}\mathbf{l})^2 + \\ & + \frac{1}{2}K_{\text{Fe}} l_z^2 - \frac{1}{4} \sum_{\alpha=\pm} \mathbf{H}_{\text{eff}}^\alpha \hat{\chi}^{\text{Pr}} \mathbf{H}_{\text{eff}}^\alpha = \\ = & -\frac{1}{2}\chi_\perp^{\text{Fe}} \mathbf{H}^2 + (\chi_\perp^{\text{Fe}} - \chi_\parallel^{\text{Fe}})(\mathbf{H}\mathbf{l})^2 + \frac{1}{2}K_{\text{eff}} l_z^2 - \\ & - \frac{1}{2}\chi_z^{\text{Pr}} H_z^2 - \frac{1}{2}\chi_\perp^{\text{Pr}} (H_x^2 + H_y^2) + \text{const}, \end{aligned} \quad (1)$$

где первые три слагаемых в верхней части определяют вклад антиферромагнитно упорядоченной Fe-подсистемы, а последнее – вклад редкоземельных ионов,  $\chi_\perp^{\text{Fe}}$  и  $\chi_\parallel^{\text{Fe}}$  – соответственно поперечная и продольная восприимчивости Fe-подсистемы ( $\chi_\parallel^{\text{Fe}} \rightarrow 0$  при  $T \rightarrow 0$ ),  $\chi_z^{\text{Pr}}$ ,  $\chi_\perp^{\text{Pr}}$  – компоненты магнитной восприимчивости Pr-подсистемы соответственно вдоль оси  $c$  и перпендикулярно ей,  $K_{\text{Fe}} > 0$  – константа одноосной анизотропии Fe-подсистемы,  $K_{\text{eff}} = K_{\text{Fe}} - (\chi_z^{\text{Pr}} \lambda_z^2 - \chi_\perp^{\text{Pr}} \lambda_\perp^2)$  – эффективная константа одноосной анизотропии кристалла с учетом анизотропного вклада ионов  $\text{Pr}^{3+}$  и Pr–Fe взаимодействия. Отрицательный редкоземельный вклад  $-(\chi_z^{\text{Pr}} \lambda_z^2 - \chi_\perp^{\text{Pr}} \lambda_\perp^2)$  в  $K_{\text{eff}}$  стабилизирует одноосное состояние и определяет при  $K_{\text{eff}} < 0$  величину поля спин-флоп перехода при  $H \parallel c$ -оси  $H_{sf} = [-K_{\text{eff}} / (\chi_\perp^{\text{Fe}} - \chi_\parallel^{\text{Fe}})]^{1/2}$ .

При  $H \parallel c$ -оси намагниченность системы, как следует из (1), линейна по полю как в одноосном состоянии  $M_z = (\chi_\parallel^{\text{Fe}} + \chi_z^{\text{Pr}})H_z$  при  $H_z < H_{sf}$ , так и в

спин-флоп фазе  $M_z = (\chi_\perp^{\text{Fe}} + \chi_z^{\text{Pr}})H_z$  при  $H_z > H_{sf}$ , что хорошо соответствует эксперименту. Величина скачка намагниченности при спин-флоп переходе определяется при низких температурах простым соотношением  $\Delta M_z = \chi_\perp^{\text{Fe}} H_{sf}$ , которое дает близкую к эксперименту величину скачка  $\sim 5.6 \text{ Гс} \cdot \text{см}^3/\text{г}$  при использовании для  $\chi_\perp^{\text{Fe}}$  значения для  $\text{YFe}_3(\text{BO}_3)_4$  ( $\approx 0.125 \cdot 10^{-3} \text{ см}^3/\text{г}$  [7]).

Как уже отмечено выше, одноосное состояние в  $\text{PrFe}_3(\text{BO}_3)_4$  стабилизируется анизотропным вкладом ионов  $\text{Pr}^{3+}$  и Pr–Fe взаимодействием. При низких температурах, когда  $\chi_\parallel^{\text{Fe}} \approx 0$ , магнитная восприимчивость Pr-подсистемы вдоль  $c$ -оси определяется непосредственно измеряемой восприимчивостью при  $H = 0$  и, согласно рис.1, равна  $\chi_{z0}^{\text{Pr}} = 0.75 \cdot 10^{-4} \text{ см}^3/\text{г}$ . Восприимчивость Pr-подсистемы перпендикулярно  $c$ -оси можно оценить как  $\chi_{\perp 0}^{\text{Pr}} = \chi_\perp^{\text{exp}}(4.2 \text{ К}) - \chi_\perp^{\text{Fe}} \approx 0.35 \cdot 10^{-4} \text{ см}^3/\text{г}$ , воспользовавшись значением  $\chi_\perp^{\text{Fe}}$  для  $\text{YFe}_3(\text{BO}_3)_4$ . В результате можно оценить величину эффективного обменного поля, создаваемого на ионах  $\text{Pr}^{3+}$  Fe-подсистемой:

$$\begin{aligned} H_{\text{ex}}(\text{Pr–Fe}) &= \lambda_{\perp,z} = \\ &= [(K_{\text{Fe}} + \chi_\perp^{\text{Fe}} H_{sf}^2) / (\chi_{z0}^{\text{Pr}} - \chi_{\perp 0}^{\text{Pr}})]^{1/2} \approx 115 \text{ кЭ}, \end{aligned} \quad (2)$$

где мы пренебрегли анизотропией Pr–Fe обмена, а для  $K_{\text{Fe}}$  использовалось значение  $2.9 \cdot 10^5 \text{ эрг}/\text{г}$  из данных по антиферромагнитному резонансу в  $\text{YFe}_3(\text{BO}_3)_4$  [7].

Для того чтобы получить представление о структуре спектра иона  $\text{Pr}^{3+}$  в кристаллическом поле, мы провели простое моделирование наблюдавшихся температурных зависимостей магнитной восприимчивости (рис.1) в параметрической области, представив ее в виде суммы вкладов Fe- и Pr-подсистем:

$$\begin{aligned} \chi_\alpha(T) &= C_{\text{Fe}} / (T - \theta_{\text{Fe}}) + \chi_\alpha^{\text{Pr}}(T), \\ \chi_\alpha^{\text{Pr}}(T) &= [\chi_{\alpha 01}^{\text{Pr}} (1 - e^{-E_1/T}) + \chi_{\alpha 02}^{\text{Pr}} (1 - e^{-E_2/T}) + \\ &+ (C_{\text{Pr}}(2J+1)/T - \chi_{\alpha 01}^{\text{Pr}} E_1/T - \chi_{\alpha 02}^{\text{Pr}} E_2/T) e^{-E_2/T}] / Z, \end{aligned} \quad (3)$$

где Fe-подсистема описывается законом Кюри–Вейса, а для ионов  $\text{Pr}^{3+}$  используется упрощенное выражение для восприимчивости в кристаллическом поле, в котором  $E_1$  и  $E_2$  представляют собой, соответственно, энергию первого возбужденного уровня и центра тяжести всех остальных возбужденных состояний основного мультиплета  ${}^3H_4$  иона  $\text{Pr}^{3+}$  ( $J = 4$ ), а величины  $\chi_{\alpha 01}^{\text{Pr}}$  и  $\chi_{\alpha 02}^{\text{Pr}}$  определяют вклад от магнитодипольных переходов между основным и указанными возбужденными состояниями,  $Z = 1 + e^{-E_1/T} + (2J - 1)e^{-E_2/T}$ ,  $C_{\text{Fe}, \text{Pr}}$  – константы Кюри–Вейса, индекс

$\alpha = z, \perp$ . Данное выражение позволяет учесть основные особенности редкоземельной подсистемы как при высоких, так и низких температурах. Результаты расчета позволяют хорошо описать эксперимент (рис.1) и определить характерные параметры иона  $\text{Pr}^{3+}$  в кристаллическом поле:  $E_1 \approx 55 \text{ К}$ , и  $E_2 \approx 550-650 \text{ К}$ ,  $\chi_{z02}^{\text{Pr}}/\chi_{z01}^{\text{Pr}} \approx 2.5$ ,  $\chi_{\perp 02}^{\text{Pr}}/\chi_{\perp 01}^{\text{Pr}} \approx 0$ . При этом значения восприимчивости при  $T = 0$ ,  $\chi_{\alpha 0}^{\text{Pr}} = \chi_{\alpha 01}^{\text{Pr}} + \chi_{\alpha 02}^{\text{Pr}}$ ,  $\alpha = z, \perp$  брались из эксперимента, константы Юри–Вейса  $C_{\text{Fe}, \text{Pr}}$  определялись их теоретическими значениями, а парамагнитная температура Юри  $\theta_{\text{Fe}} \approx 130 \text{ К}$  бралась для  $\text{YFe}_3(\text{BO}_3)_4$  [7].

Обратимся теперь к магнитоэлектрическим свойствам  $\text{PrFe}_3(\text{BO}_3)_4$  и проанализируем их с учетом выявленных особенностей основного состояния иона  $\text{Pr}$ . Согласно симметрии ферроборатов, определяемой пространственной группой  $R\bar{3}2$  и трансформационными свойствами вектора антиферромагнетизма 1 Fe-подсистемы и магнитных моментов  $\mathbf{m}_i$  ( $i = 1, 2$ )  $R$ -подсистемы, электрическая поляризация может быть представлена в виде [3]

$$P_x = c_1 l_y l_z + c_2 (l_x^2 - l_y^2) +$$

$$+ \frac{1}{2} \sum_{i=1}^2 [c_3 (m_{ix}^2 - m_{iy}^2) + c_4 m_{iz} H_y + c_5 m_{iz} M_{iy}], \quad (4a)$$

$$P_y = -c_1 l_x l_z - 2c_2 l_x l_y -$$

$$- \frac{1}{2} \sum_{i=1}^2 [2c_3 m_{ix} m_{iy} + c_4 m_{iz} H_x + c_5 m_{iz} m_{ix}], \quad (4b)$$

$$P_z = c_6 l_x l_z (l_x^2 - 3l_y^2) + \frac{1}{2} \sum_{i=1}^2 c_7 m_{ix} m_{iz} (m_{ix}^2 - 3m_{iy}^2), \quad (4b)$$

где  $c_1, c_2, \dots, c_7$  – магнитоэлектрические константы. При спин-флоп переходе, индуцированном полем  $H \parallel c$ , в первую очередь можно ожидать появления скачков поляризации по  $a$ -оси  $\Delta P_x \sim c_2 (l_x^2 - l_y^2) + \frac{1}{2} \sum_i c_3 (m_{ix}^2 - m_{iy}^2)$ , и  $b$ -оси  $\Delta P_y \sim -2c_2 l_x l_y - \frac{1}{2} \sum_i 2c_3 m_{ix} m_{iy}$ , обусловленных появлением  $x$ - или  $y$ -компонент векторов 1 и  $m_i$  в базисной плоскости. При этом, в силу специфики основного состояния  $\text{Pr}$  компоненты,  $m_{ix}$ ,  $m_{iy}$  определяются только его ван-Флековской восприимчивостью  $\sim \chi_{\perp}^{\text{VV}} H_{ex}$ . Величина скачка и его знак существенно зависят от ориентации магнитных моментов в базисной плоскости в спин-флоп фазе. Поэтому наблюдаемое в эксперименте возрастание электрической поляризации вдоль оси  $a$  после перехода в спин-флоп фазу (рис.4а) может быть связано с данным скачком, если векторы 1 и  $m_i$  переориентируются либо к  $a(x)$ -оси или к  $b(y)$ -оси.

Другая особенность поведения поляризации, связанная с ее зависимостью от поля при  $H_z < H_{sf}$  и проявляющаяся в виде пинка в поле спин-флоп перехода  $H_{sf}$  (рис.4.), может быть связана с вкладами  $l_x l_z$ ,  $l_y l_z$ ,  $m_{ix} m_{iz}$ ,  $m_{iy} m_{iz}$ ,  $H_x m_{iz}$ ,  $H_y m_{iz}$  в (4a), (4b). Они могут стать отличными от нуля из-за небольших отклонений магнитного поля от  $c$ -оси в реальных экспериментальных условиях, которые вызывают отклонение магнитных моментов от  $c$ -оси еще при  $H < H_{sf}$ . Как показало проведенное нами моделирование, вклады, пропорциональные  $l_x l_z$ ,  $l_y l_z$ , вначале квадратичным образом зависят от магнитного поля, достигая максимального по амплитуде значения в области  $H_{sf}$ , и далее при  $H > H_{sf}$  спадают по величине. Наблюдаемое экспериментально поведение поляризации вдоль  $b$ -оси (рис.4b), похоже, связано в основном с этими вкладами, так как скачок поляризации (как для  $\Delta P_x$ ) здесь не проявлялся, видимо, из-за преимущественной ориентации спинов или по  $a$ -, или по  $b$ -оси в спин-флоп фазе, при которой он равен нулю.

Наконец, отметим еще одну особенность в поведении поляризации вдоль оси  $a$ , проявляющуюся в полях, превышающих  $H_{sf}$ , в виде заметного уменьшения поляризации (рис.4a). Возможной причиной этой аномалии является переориентация спинов в базисной плоскости, индуцированная  $x$ - или  $y$ -“паразитными” компонентами магнитного поля. Такого рода аномалии поляризации наблюдались в легкоплоскостных ферроборатах  $\text{NdFe}_3(\text{BO}_3)_4$  [3],  $\text{YFe}_3(\text{BO}_3)_4$ ,  $\text{EuFe}_3(\text{BO}_3)_4$  [7] при переориентации спинов перпендикулярно полю в полях  $\sim 7-8 \text{ кЭ}$ , приложенных в базисной плоскости.

Полевые зависимости электрической поляризации для магнитного поля в базисной плоскости хорошо описываются выражением  $P_b = C_3 m_x^2 = C_3 (\chi_{\perp}^{\text{Pr}} H_x)^2$ , то есть определяются вкладом  $\text{Pr}$ -подсистемы. На вставке к рис.5 приведена температурная зависимость экспериментально определенного коэффициента при квадратичном по полю члене  $C_3^{\text{Pr}}$  продольной поляризации вдоль оси  $a$  (точки) и рассчитанная зависимость (сплошная линия)  $C_3^{\text{Pr}} = C_3 (\chi_{\perp}^{\text{Pr}})^2$  с теми же параметрами, которые использовались для описания поперечной восприимчивости празеодима (рис.1). Как видно из рисунка, рассчитанная кривая в целом разумно согласуется с экспериментальными точками. Более строгое рассмотрение температурных зависимостей электрической поляризации требует расчета мультипольных моментов, учет которых может привести к еще более хорошему согласию теории и эксперимента.

**Заключение.** Таким образом, проведенные исследования  $\text{PrFe}_3(\text{BO}_3)_4$  позволили выявить важную

роль редкоземельной подсистемы в формировании его магнитных и магнитоэлектрических свойств. Характерной особенностью иона  $\text{Pr}^{3+}$  является синглетный характер его основного состояния, что определяет отличную от нуля начальную восприимчивость в одноосной фазе и линейный характер кривых намагничения как выше, так и ниже поля спин-флоп перехода в отличие от ферробората  $\text{TbFe}_3(\text{BO}_3)_4$  [4, 8], где расщепление квазидублета в кристаллическом поле равно нулю. Анизотропия магнитной восприимчивости  $\text{Pr}^{3+}$  и Pr–Fe-обмен стабилизируют одноосную магнитную структуру. Проведенный анализ позволил количественно описать основные экспериментальные результаты и определить ключевые характеристики основного состояния иона  $\text{Pr}^{3+}$  (расщепление в кристаллическом поле, величину обменного поля). Показано, что наблюдаемые аномалии электрической поляризации при спин-флоп переходе оказываются весьма чувствительными ко многим деталям магнитной структуры и ориентации магнитного поля, что может быть использовано для получения дополнительной информации о магнитной структуре, в частности ориентации спинов в спин-флоп фазе.

Авторы статьи выражают благодарность А.К. Звездину и А.П. Пятакову за полезные дис-

куссии в процессе обсуждения результатов работы. Работа выполнена при финансовой поддержке Российской фонда фундаментальных исследований (грант # 07-02-00580).

1. А. Н. Васильев, Е. А. Попова, ФНТ **32**, 968 (2006).
2. А. К. Звездин, С. С. Кротов, А. М. Кадомцева и др., Письма в ЖЭТФ **81**, 335 (2005).
3. А. К. Звездин, Г. П. Воробьев, А. М. Кадомцева и др., Письма в ЖЭТФ **83**, 600 (2006).
4. А. М. Кадомцева, Ю.Ф. Попов, Г. П. Воробьев и др., *I Международный междисциплинарный симпозиум “Среды со структурным и магнитным упорядочением”*, Multiferroics-2007.
5. М. Н. Попова, Е. П. Чукалина, Т. Н. Станиславчук, Л. Н. Безматерных, Изв. РАН Серия физ. **70**, 1652 (2006).
6. Л. Н. Безматерных, С. А. Харламова, В. Л. Темеров, Кристаллография **49**, 1 (2004).
7. V. Yu. Ivanov, A. A. Mukhin, A. M. Kuzmenko et al., *Bezmaternih Abstracts of the International Conference “Functional Materials” ICFM-2007*, Ukraine, Crimea, Partenit, October 1-6, 2007, p. 207.
8. E. A. Popova, D. V. Volkov, A. N. Vasiliev et al., Phys. Rev. B **75**, 224413 (2007).